

**РАВНОМЕРНО ПРИГОДНОЕ ПРИБЛИЖЕНИЕ ДЛЯ ХАРАКТЕРИСТИК
ЭЛЕКТРОМАГНИТНОГО ПОЛЯ В КВАНТОВОЙ МОДЕЛИ РАБИ****А. В. Леонов***, И. Д. Феранчук, О. Д. Скоромник, Н. К. Шан

УДК 535.14

*Белорусский государственный университет,**220030, Минск, просп. Независимости, 4, Беларусь; e-mail: leonov.bsu@gmail.com**(Поступила 30 июля 2019)*

Проведено систематическое исследование эффективности равномерно пригодного приближения для описания квантовой модели Раби вне рамок приближения вращающейся волны. Вычислены корреляционные характеристики электромагнитного поля в резонаторе и рассмотрены физические эффекты, которые обусловлены антивращающимися слагаемыми в гамильтониане.

Ключевые слова: модель Раби, двухуровневая система, квантовое поле, операторный метод.

Efficiency of the uniformly available approximation for description of the quantum Rabi model beyond the rotating wave approximation is systematically investigated. Correlation characteristics of the electromagnetic field in a resonator are calculated and some physical effects due to presence of the counter-rotating terms in the Hamiltonian are considered.

Keywords: Rabi model, two-level system, quantum field, operator method.

Введение. Квантовая модель Раби (КМР) описывает взаимодействие двухуровневой системы (ДУС) с одномодовым квантовым полем в резонаторе [1, 2]. Она является одной из базовых моделей, которые используются для описания взаимодействия излучения с веществом, и имеет фундаментальное значение для многих задач квантовой оптики [3], квантовой информации [4] и физики конденсированных сред [5]. Различные приложения этой модели и ее обобщений весьма актуальны и в настоящее время (см. [6—8] и цитируемую там литературу). Как показано в [9], КМР является точно интегрируемой системой и задача о спектре ее стационарных состояний выражается через решения многочленных рекуррентных соотношений. Этот результат имеет принципиальное значение, однако собственные функции и собственные значения не представляются в замкнутой аналитической форме, что весьма затрудняет их использование для конкретных приложений при описании задач эволюции КМР, которые связаны с суммированием по всему спектру стационарных состояний системы. В связи с этим для исследования динамики КМР широко применяются простые аналитические решения для стационарных состояний, основанные на использовании приближения вращающейся волны (ПВВ) и являющиеся точными собственными функциями гамильтониана модели Джейнса—Каммингса (МДК) [10]. Однако область применимости МДК ограничена малыми значениями отстройки от резонанса и константы взаимодействия ДУС и поля. Большой интерес вызывает исследование систем, которым соответствует режим сильной связи КМР и физических эффектов, возникающих в этом режиме [11—14]. Существует большое число реализаций двухуровневой системы и резонаторов (сверхпроводящий кубит, поляритон), соответствующих КМР с большой константой связи [15], которую можно непрерывно изменять в интервале порядка единицы [16]. Поэтому разработка методов достаточно простого описания КМР за рамками ПВВ остается актуальной задачей (см. [7, 15, 17, 18] и цитируемую там литературу).

**UNIFORMLY AVAILABLE APPROXIMATION FOR SOME CHARACTERISTICS OF THE
ELECTROMAGNETIC FIELD IN THE QUANTUM RABI MODEL****A. U. Leonau***, I. D. Feranchuk, O. D. Skoromnik, N. Q. San (*Belarusian State University, 4 Nezavisimosti Prosp., Minsk, 220030, Belarus; e-mail: leonov.bsu@gmail.com*)

В работе [19] на основе операторного метода (ОМ) построено равномерно пригодное приближение (РПП) для стационарных состояний КМР, которое в нулевом приближении с высокой точностью аппроксимирует собственные значения гамильтониана КМР во всем диапазоне изменения отстройки и константы связи и позволяет построить итерационную схему для численной диагонализации гамильтониана КМР, быстро сходящуюся при оптимальном выборе вариационного параметра [20]. Аналогичная аппроксимация построена в [21, 22] путем обобщения приближения вращающейся волны. Недавно этот подход был улучшен за счет выбора вариационного параметра (см. [7] и цитируемую там литературу).

Полученные приближенные решения имеют простую аналитическую форму, ненамного более сложную, чем в случае ПВВ, что позволяет выполнять суммирование по всему набору квантовых чисел системы при вычислении рассматриваемых величин. В [20, 23] показано, что РПП позволяет описывать эволюцию ДУС и процессы релаксации в ней во всем диапазоне изменения амплитуды поля и отстройки от резонанса. В то же время важное прикладное значение КМР в квантовой оптике и теории информации связано не только с описанием эволюции атома (кюбита), но и с анализом в рамках этой модели корреляционных характеристик электромагнитного поля.

В настоящей работе проведено систематическое сравнение результатов вычисления подобных характеристик на основе ПВВ и РПП и показано, что использование РПП существенно расширяет возможности КМР при исследовании и оптимизации параметров таких систем и позволяет описать эффекты, которые не проявляются в рамках ПВВ, в частности образование “одетой” ДУС как связанного состояния атома и фотонов, возникающих из вакуумного состояния электромагнитного поля.

Равномерно пригодное приближение для стационарных состояний КМР. Напомним основные соотношения для решений задачи о стационарных состояниях КМР, полученных в рамках ПВВ и РПП. Безразмерная форма гамильтониана КМР в натуральной системе единиц ($\hbar = c = 1$) определяется хорошо известным выражением [24]

$$\hat{H} = \frac{1}{2} \Delta \hat{\sigma}_3 + \hat{a}^+ \hat{a} + f(\hat{\sigma}_+ + \hat{\sigma}_-)(\hat{a} + \hat{a}^+), \quad (1)$$

где \hat{a} и \hat{a}^+ — операторы рождения и уничтожения квантов резонансной моды поля; частота поля $\omega = 1$ определяет масштаб измерения энергии системы; Δ — разность энергий между резонансными уровнями атома в единицах ω ; f — безразмерная константа связи ДУС и поля, пропорциональная дипольному матричному элементу перехода между этими состояниями; $\hat{\sigma}_i$ — матрицы Паули.

В этой системе существует интеграл движения, который можно рассматривать как “комбинированную четность”:

$$\hat{P} = \hat{\sigma}_3 \hat{S} = \hat{\sigma}_3 e^{i\pi \hat{a}^+ \hat{a}}, \quad [\hat{H}, \hat{P}] = 0. \quad (2)$$

В рамках ПВВ слагаемыми $\hat{\sigma}_+ \hat{a}^+$ и $\hat{\sigma}_- \hat{a}$ в гамильтониане (1) пренебрегают, что изменяет и интеграл движения системы, который в данном приближении соответствует сохранению суммарного числа возбуждений атома и поля:

$$\begin{aligned} \hat{H}_{\text{RWA}} &= \frac{1}{2} \Delta \hat{\sigma}_3 + \hat{a}^+ \hat{a} + f(\hat{\sigma}_+ \hat{a} + \hat{\sigma}_- \hat{a}^+), \\ \hat{J} &= \frac{1}{2} \hat{\sigma}_3 + \hat{a}^+ \hat{a}, \quad [\hat{H}_{\text{RWA}}, \hat{J}] = 0. \end{aligned} \quad (3)$$

В этом случае стационарное уравнение Шрёдингера $\hat{H}_{\text{RWA}} |\psi_n^{(\pm)}\rangle = E_n^{(\pm)} |\psi_n^{(\pm)}\rangle$ имеет простые аналитические решения как для собственных значений энергии, так и для собственных векторов:

$$E_n^{(\pm)} = n + \frac{1}{2} \pm \frac{1}{2} \sqrt{(\Delta - 1)^2 + 4f^2(n+1)},$$

$$|\psi_n^{(\pm)}\rangle = a_n^{(\pm)} \chi_{\uparrow} |n\rangle + b_n^{(\pm)} \chi_{\downarrow} |n+1\rangle, \quad n = 1, 2, \dots \quad (4)$$

$$E_0^{(-)} = -\frac{\Delta}{2}, \quad E_0^{(+)} = \frac{1}{2} + \frac{1}{2} \text{Sign}(\Delta - 1) \sqrt{(\Delta - 1)^2 + 4f^2},$$

$$|\psi_0^{(-)}\rangle = \chi_{\downarrow} |0\rangle, \quad |\psi_0^{(+)}\rangle = a_0^{(+)} \chi_{\uparrow} |0\rangle + b_0^{(+)} \chi_{\downarrow} |1\rangle, \quad (5)$$

где

$$a_n^{(\pm)} = \frac{1}{\sqrt{1 + (\lambda_n^{(\pm)})^2}}, \quad b_n^{(\pm)} = -\frac{\lambda_n^{(\pm)}}{\sqrt{1 + (\lambda_n^{(\pm)})^2}}, \quad (6)$$

$$\lambda_n^{(\pm)} = \frac{(\Delta - 1) \mp \sqrt{(\Delta - 1)^2 + 4f^2(n+1)}}{2f\sqrt{n+1}}. \quad (7)$$

В то же время точные стационарные состояния КМР определяются системой уравнений:

$$\begin{aligned} \hat{H}|\Psi_{np}\rangle &= E_{np}|\Psi_{np}\rangle, \\ \hat{P}|\Psi_{np}\rangle &= p|\Psi_{np}\rangle, \end{aligned} \quad (8)$$

где квантовое число $p = \pm 1$ определяет четность состояния, $n = 0, 1, \dots$ — уровень возбуждения поля.

При решении этих уравнений вне рамок ПВВ в [19, 21] учтено, что связь атома с полем приводит к смещению положения равновесия полевых осцилляторов. Этот сдвиг можно описать с помощью канонического преобразования операторов:

$$\begin{aligned} \hat{b} &= \hat{a} + u, \quad \hat{b}^+ = \hat{a}^+ + u, \\ \hat{b} &= \hat{R}^{-1}\hat{a}\hat{R}, \quad \hat{R} = e^{u(\hat{a}^+ - \hat{a})} = e^{-u^2/2} e^{u\hat{a}^+} e^{-u\hat{a}}, \\ |n, u\rangle &= \frac{(\hat{a}^+ + u)^n}{\sqrt{n!}} \sum_{k=0}^{\infty} \frac{u^k}{k!} (\hat{a}^+)^k |0\rangle e^{-u^2/2}. \end{aligned} \quad (9)$$

Используя u в качестве вариационного параметра, удается найти замкнутые аналитические формулы для E_{np} и $|\Psi_{np}\rangle$, которые с высокой точностью аппроксимируют точные решения задачи во всем диапазоне изменения f , Δ и квантового числа n . Эти решения определяют РПП для описания состояний рассматриваемой системы и имеют вид:

$$\begin{aligned} E_{np} &= n + \frac{1}{2}q - f^2 + \frac{1}{4}p\Delta(S_{n+q, n+q} + S_{nn}) - \frac{1}{2}qM, \quad n = 1, 2, \dots \\ M &= \sqrt{\left[1 + \frac{1}{2}\Delta(-1)^n(S_{n+q, n+q} - S_{nn})\right]^2 + \Delta^2 S_{n, n+q}^2}, \quad q = p(-1)^n, \\ S_{km} &= (-1)^m \sqrt{\frac{m!}{k!}} (2f)^{k-m} L_m^{k-m}(4f^2) e^{-2f^2}, \quad k \geq m; \quad S_{km} = S_{mk}, \end{aligned} \quad (10)$$

где $L_m^k(x)$ — обобщенные полиномы Лагерра;

$$\begin{aligned} |\Psi_{np}\rangle &= B_{np} \{ \gamma |n, f\rangle + |n+q, f\rangle \} \chi_+ + p B_{np} \{ (\gamma S_{nn} + S_{n, n+q}) |n, f\rangle + (\gamma S_{n+q, n} + S_{n+q, n+q}) |n+q, f\rangle \} \chi_-, \\ B_{np}^2 &= \{ (\gamma^2 + 1) + (\gamma S_{nn} + S_{n, n+q})^2 + (\gamma S_{n+q, n} + S_{n+q, n+q})^2 \}^{-1}, \\ \gamma &= -\frac{p\Delta S_{n, n+q}}{2n + 2f^2 + p\Delta S_{nn} - 2E_{np}}, \quad \chi_{\pm} = \frac{1}{\sqrt{2}} (\chi_{\uparrow} \pm \chi_{\downarrow}). \end{aligned} \quad (11)$$

Для основного состояния $(0, -)$ находим:

$$\begin{aligned} E_{0,-} &= -f^2 - \frac{1}{2}\Delta S_{00}(f) = -f^2 - \frac{1}{2}\Delta e^{-2f^2}, \\ |\Psi_{0,-}\rangle &= \frac{1}{\sqrt{2}} (|0, f\rangle \chi_+ - \sum_{k=0}^{\infty} S_{0k}(f) |k, f\rangle \chi_-). \end{aligned} \quad (12)$$

В работе [19] построена эффективная итерационная схема численного решения уравнений (8), позволяющая находить стационарные состояния КМР с любой необходимой точностью. Это дает возможность сравнить результаты аналитических аппроксимаций ПВВ и РПП с точным решением и определить границы применимости обоих приближений.

На рис. 1 представлена зависимость энергетических уровней системы от константы связи и отстройки от резонанса для различных квантовых чисел. Видно, что РПП интерполирует точные решения с достаточно высокой точностью при любых константах связи и квантовых числах, в то время как структура уровней в рамках ПВВ качественно отличается от точных решений в области параметров $f\sqrt{n} > 1$. Как показано в [25], такое изменение поведения уровней обусловлено квазипересечением энергетических термов системы, найденных в рамках ПВВ, при константе связи и квантовом

числе n , определяемых из условий

$$E_n^{(+)}(f) = E_{(n+2)}^{(-)}(f). \quad (13)$$

При точном резонансе решения уравнений (13) существуют при

$$f(\sqrt{n+1} + \sqrt{n+3}) > 2, \quad f\sqrt{n} \geq 1, \quad (14)$$

что и задает границы диапазона параметров системы, когда можно использовать ПВВ.

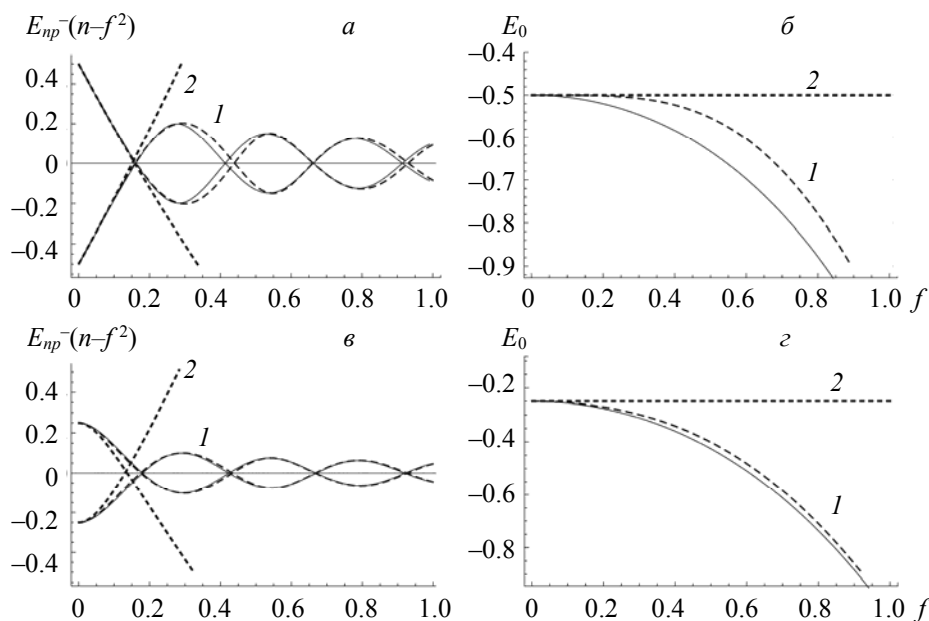


Рис. 1. Уровни энергии как функции константы связи: *a* — возбужденные состояния при $n = 10$, $p = \pm 1$, $\Delta = 1.0$; *б* — основное состояние ($n = 0$, $p = -1$) при $\Delta = 1.0$; *в* — возбужденные состояния при $n = 10$, $p = \pm 1$, $\Delta = 0.5$; *з* — основное состояние ($n = 0$, $p = -1$) при $\Delta = 0.5$; численное решение — сплошные линии; 1 — РПП; 2 — ПВВ

Рассмотрим точность аппроксимации вектора состояния системы в различных приближениях. Точную собственную функцию гамильтониана КМР представим в виде разложения по фоковскому базису свободного электромагнитного поля и спиновым состояниям невозмущенной ДУС:

$$|\Psi_{np}\rangle = \sum_{ms} A_{ms}^{np} |m\rangle \chi_s. \quad (15)$$

Зависимость двух первых моментов от константы связи представлена на рис. 2.

Точность аппроксимации вектора состояния можно охарактеризовать с помощью моментов, определяющих отклонение по норме точных коэффициентов A_{ms}^{np} от их значений $A_{ms}^{np}(R)$ и $A_{ms}^{np}(U)$, вычисленных в рамках ПВВ и РПП:

$$\eta_l(F)^{np} = \frac{\sum_{ms} m^l |A_{ms}^{np} - A_{ms}^{np}(F)|^2}{\sum_{ms} m^l |A_{ms}^{np}|^2}, \quad F = (R, U). \quad (16)$$

На рис. 3 показана зависимость коэффициентов заселенности фоковских состояний электромагнитного поля в резонаторе в стационарных состояниях системы от константы связи:

$$Q_{kn}^s = \sum_p |\chi_s \langle k | \Psi_{np} \rangle|^2. \quad (17)$$

Эти коэффициенты имеют важное значение при описании эволюции КМР, и их поведение тесно связано с разницей в интегралах движения системы для обоих приближений. В рамках ПВВ отличны от нуля заселенности только двух соседних фоковских состояний поля, тогда как в точных решениях и в РПП заселенности этих состояний “расплываются” по интервалу $|k - n| \sim f\sqrt{n}$.

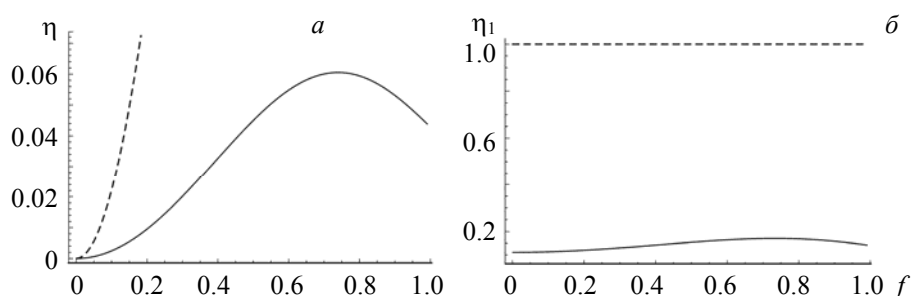


Рис. 2. Моменты η_0 (а) и η_1 (б) как функции константы связи для основного состояния КМР при резонансе: РПП — сплошные линии, ПВВ — штриховые

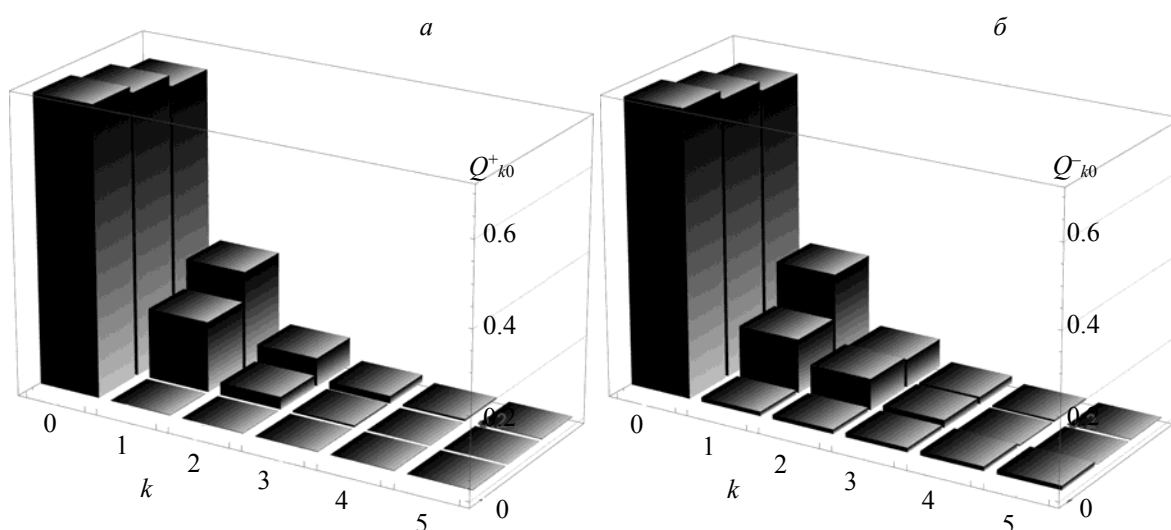


Рис. 3. Модули коэффициентов заселенности для основного состояния КМР при резонансе и $f = 0.25$: передний ряд — ПВВ, средний ряд — РПП, задний ряд — численное решение

Качественно отличается структура основного состояния системы в рамках ПВВ от точного решения и РПП для КМР. Действительно, состояние $|0\rangle\chi_{\downarrow}$, соответствующее вакууму электромагнитного поля, является точным собственным вектором гамильтониана (3). В то же время основное состояние КМР соответствует “одетой” ДУС — связанному состоянию кубита и когерентного состояния электромагнитного поля, соответствующего ненулевым значениям числа фотонов в фоковском базисе. Образование такого состояния можно рассматривать как проявление “поляронного” эффекта, характерного для любых систем, соответствующих взаимодействию частицы с квантовым полем [26]. Энергия связи основного состояния “одетой” ДУС в рамках РПП определяется формулой:

$$E_B = E_{0,-} - (-\Delta / 2) = -f^2 + \frac{1}{2} \Delta (1 - e^{-2f^2}), \tag{18}$$

а волновая функция (12) описывает “перепутанное” состояние ДУС и квантового поля. Простая формула (18) хорошо аппроксимирует точную зависимость энергии основного состояния от константы связи (рис. 1).

Характеристики электромагнитного поля в КМР. Как указано выше, область применимости ПВВ определяется параметром $f\sqrt{n}$. Напомним, что КМР возникает в результате аппроксимации оператора взаимодействия атомной системы с резонансной модой электромагнитного поля. Исходный гамильтониан для нерелятивистского атома имеет вид ($\hbar = c = 1$):

$$\hat{H} = \hat{H}_a + \hat{H}_{\text{int}} + \sum_{\mathbf{k}} \omega_{\mathbf{k}} a_{\mathbf{k}}^{\dagger} a_{\mathbf{k}},$$

$$\hat{H}_{\text{int}} = -\frac{e_0(\mathbf{p}\mathbf{A})}{m_0} + \frac{e_0^2(\mathbf{A})^2}{2m_0},$$

$$\mathbf{A}(\mathbf{r}) = \sum_{\mathbf{k},s} \sqrt{\frac{2\pi}{\omega_{\mathbf{k}}V}} \mathbf{e}_s(\mathbf{k}) [a_{\mathbf{k}} e^{i\mathbf{k}\mathbf{r}} + a_{\mathbf{k}}^+ e^{-i\mathbf{k}\mathbf{r}}], \quad (19)$$

где $\mathbf{A}(\mathbf{r})$ — векторный потенциал электромагнитного поля; e_0 , m_0 — заряд и масса электрона ($e_0^2 \approx 1/137$); $a_{\mathbf{k}}^+$, $a_{\mathbf{k}}$ — операторы рождения и уничтожения фотона с волновым вектором \mathbf{k} , частотой $\omega_{\mathbf{k}}$ и поляризацией $\mathbf{e}_s(\mathbf{k})$; V — объем резонатора.

Аппроксимация этого гамильтониана, соответствующая КМР, состоит в учете только двух состояний атома χ_{\uparrow} , χ_{\downarrow} , для которых частота перехода $\Delta = E_{\uparrow} - E_{\downarrow}$ близка к частоте выделенной резонатором моды $\omega_{\mathbf{k}_0} = \omega$, $\omega_{\mathbf{k}_0} = \omega$, $a_{\mathbf{k}_0} = a$, $a_{\mathbf{k}_0}^+ = a^+$, и использовании дипольного приближения в операторе взаимодействия [17]. Предположим также, что резонансная мода обладает определенной поляризацией $\mathbf{e}_s(\mathbf{k}_0) = \mathbf{e}$. Тогда в базисе ДУС получаем:

$$\hat{H} = \omega \left[\frac{\Delta}{2} \sigma_3 + f(a + a^+) \sigma_1 + \frac{2\pi e_0^2}{2m_0 \omega^2 V} (a + a^+)^2 + a^+ a \right],$$

$$f = -e_0 v \sqrt{\frac{2\pi}{\omega^3 V}}, \quad v = \frac{1}{m_0} \chi_{\uparrow}(\mathbf{p}\mathbf{e}) \chi_{\downarrow}. \quad (20)$$

Если в этом операторе пренебречь квадратичным по полю “диамагнитным” слагаемым, то получаем гамильтониан КМР, спектр которого рассмотрен выше и показано, что использовать ПВВ для его расчета можно при выполнении условия

$$\xi = f \sqrt{\langle a \rangle} \approx e_0 |v| \sqrt{\frac{2\pi \bar{n}}{V \omega^3}} < 1, \quad (21)$$

где \bar{n} — среднее число фотонов резонансной моды поля.

Матричный элемент скорости выражается через дипольный момент перехода:

$$|v| = \omega \Delta |\langle \chi_{\uparrow} | (\mathbf{r}\mathbf{e}) | \chi_{\downarrow} \rangle| \approx d \Delta, \quad (22)$$

где d — дипольный матричный элемент перехода ДУС.

Среднюю плотность фотонов \bar{n}/V выразим через плотность энергии I электромагнитного поля в резонаторе:

$$\bar{n}/V\omega = I. \quad (23)$$

В результате получаем

$$\xi = \frac{e_0 d \Delta}{\omega} \sqrt{2\pi I}. \quad (24)$$

Таким образом, выход за рамки ПВВ при описании взаимодействия атомной системы с полем на основе КМР необходим, если плотность энергии в резонаторе

$$I > \frac{\omega^2}{2\pi e_0^2 d^2 \Delta^2} \equiv I_c. \quad (25)$$

Следует обратить внимание на то, что при достижении критической плотности энергии, когда необходим выход за рамки ПВВ, диамагнитный вклад в операторе (20) может стать сравнимым с линейным по полю слагаемым, на что указывалось в [15, 27]. Это обстоятельство можно учесть с помощью канонического преобразования полевых операторов в гамильтониане (20) для того, чтобы привести квадратичную форму по операторам поля к диагональному виду. В результате оператор (20) сводится к гамильтониану КМР с перенормированными параметрами:

$$\hat{H} = \tilde{\omega} \left[\frac{\tilde{\Delta}}{2} \sigma_3 + \tilde{f}(a + a^+) \sigma_1 + a^+ a \right],$$

$$\tilde{\omega} = \omega \sqrt{1 + \lambda}, \quad \tilde{f} = \frac{f}{\sqrt{1 + \lambda}}, \quad \tilde{\Delta} = \frac{\Delta}{\sqrt{1 + \lambda}}, \quad \lambda = \frac{2\pi e_0^2}{m_0 \omega^2 V}. \quad (26)$$

Таким образом, учет диамагнитного вклада не изменяет характерной структуры спектра КМР, однако поведение энергетических уровней системы в пределе сильной связи может существенно перенормироваться. Как показано выше, в этом пределе

$$E_{np} \approx \tilde{\omega}(n - \tilde{f}^2) = n\sqrt{1 + \lambda} - \frac{f^2}{\sqrt{1 + \lambda}} = n\sqrt{1 + \frac{2\pi e_0^2}{m_0 \omega^2 V}} - \frac{\frac{2\pi e_0^2 \Delta^2 d^2}{V \omega^3}}{\sqrt{1 + \frac{2\pi e_0^2}{m_0 \omega^2 V}}}. \quad (27)$$

Полученное выражение дает возможность оценить радиационный сдвиг уровней рассматриваемой системы.

Ранее [20] было исследовано изменение динамики ДУС в режиме сильной связи. Рассмотрим, как влияет учет “антивращающих” слагаемых в операторе КМР на статистические характеристики электромагнитного поля в резонаторе. Для этого сравним результаты вычисления на основе ПВВ и РПП следующих величин.

Вероятности обнаружения n квантов электромагнитного поля в момент времени t при условии, что при $t = 0$ система находилась в состоянии $|l, s\rangle \equiv |l\rangle \chi_s$:

$$P_n(t, f) = \sum_s |\langle n, s' | \Psi(t) \rangle|^2, \quad |\Psi(0)\rangle = |l, s\rangle. \quad (28)$$

В общем случае эта величина является быстроосциллирующей функцией времени, но при наблюдении за системой в течение достаточно большого промежутка времени $T \gg 1/\omega$ она стремится к постоянной величине

$$\langle P_n(f) \rangle = \frac{1}{T} \int_0^T P_n(t, f) dt = \sum_{s' mp} |\langle n, s' | \Psi_{mp} \rangle|^2 |\langle l, s | \Psi_{mp} \rangle|^2. \quad (29)$$

С помощью этого распределения вероятностей можно найти среднее число фотонов в резонаторе

$$\langle n(f) \rangle = \sum_n n \langle P_n(f) \rangle \quad (30)$$

и их вариацию [24]:

$$\langle (\Delta n)^2 \rangle = \langle n^2(f) \rangle - \langle n(f) \rangle^2. \quad (31)$$

На рис. 4 представлена зависимость среднего числа фотонов в полости и вариация числа фотонов, рассчитанных в рамках численного решения, РПП и ПВВ от константы связи. Как указано выше, наиболее существенное изменение в спектре состояний КМР относится к качественной перестройке основного состояния системы. Действительно, при помещении в резонатор с вакуумным электромагнитным полем ДУС в основном состоянии в полости возникает отличное от нуля электромагнитное поле, что можно интерпретировать как эффект “генерации” фотонов из вакуума, как это рассмотрено в [28] при численном анализе состояний КМР. Этот эффект не существует в рамках ПВВ, но хорошо описывается на основе РПП.

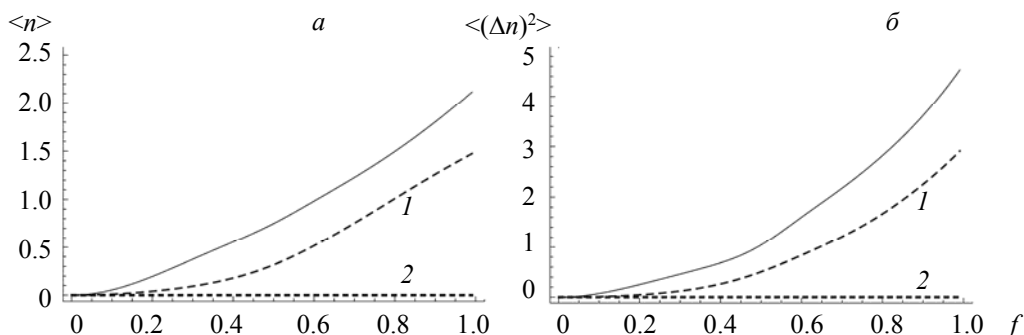


Рис. 4. Среднее число фотонов (а) и вариация числа фотонов (б) как функции константы связи для основного состояния КМР при резонансе; численное решение — сплошные линии; 1 — РПП; 2 — ПВВ

Заключение. Проведен анализ эффективности использования равномерно пригодного аналитического приближения операторного метода для описания стационарных состояний и наблюдаемых характеристик квантовой модели Раби вне рамок приближения вращающейся волны. Показано, что данное приближение находится в хорошем соответствии с численным решением и описывает все качественные особенности исследуемой системы. Описан новый “поляронный” эффект образования связанного состояния атома и поля в основном состоянии системы, обусловленный антивращающими слагаемыми в исходном гамильтониане.

- [1] **I. I. Rabi.** Phys. Rev., **49** (1937) 324—328
- [2] **I. I. Rabi.** Phys. Rev., **51** (1937) 652—654
- [3] **H. Walter, B. T. H. Varcoe, B.-G. Englert, T. Becker.** Rep. Prog. Phys., **69** (2006) 1325
- [4] **J. M. Raimond, M. Brune, S. Haroche.** Rev. Mod. Phys., **73** (2001) 565—582
- [5] **T. Holstein.** Ann. Phys., **8** (1959) 325—342
- [6] **A. V. Dodonov, A. Napoli, B. Militello.** Phys. Rev. A, **99** (2019) 033823
- [7] **B.-B. Mao, L. Li, Y. Wang, W.-L. You, W. Wu, M. Liu, H.-G. Luo.** Phys. Rev. A, **99** (2019) 033834
- [8] **C. J. Villas-Boas, D. Z. Rossatto.** Phys. Rev. Lett., **122** (2019) 123604
- [9] **D. Braak.** Phys. Rev. Lett., **107** (2011) 100401
- [10] **E. T. Jaynes, F. W. Cummings.** Proc. IEEE, **51** (1963) 89—109
- [11] **J. Bourassa, J. M. Gambetta, A. A. Abdumalikov, O. Astafiev, Y. Nakamura, A. Blais.** Phys. Rev. A, **80** (2009) 032109
- [12] **T. Niemczyk, F. Deppe, H. Huebl, E. Menzel, F. Hocke, M. Schwarz, J. Garcia-Ripoll, J. Zueco, T. Hummer, E. Solano.** Nature Phys., **6** (2010) 772
- [13] **B. Peropadre, P. Forn-Diaz, E. Solano, J. J. Garcia-Ripoll.** Phys. Rev. Lett., **105** (2010) 023601
- [14] **A. Ridolfo, M. Leib, S. Savasta, M. J. Hartmann.** Phys. Rev. Lett., **109** (2012) 193602
- [15] **P. Forn-Diaz, L. Lamata, E. Rico, J. Kono, E. Solano.** Rev. Mod. Phys., **91** (2019) 025005
- [16] **C. Ciuti, G. Bastard, I. Carusott.** Phys. Rev. B, **72** (2005) 115303
- [17] **I. D. Feranchuk, A. V. Leonov, O. D. Skoromnik.** J. Phys. A: Mathemat. Theor., **49** (2016) 454001
- [18] **A. Saiko, R. Fedaruk, S. Markevich.** J. Phys. B: At., Mol. Opt. Phys., **47** (2014) 155502
- [19] **I. D. Feranchuk, L. I. Komarov, A. P. Ulyanekov.** J. Phys. A, **29** (1996) 4035—4047
- [20] **I. D. Feranchuk, A. V. Leonov.** Phys. Lett. A, **375** (2011) 385—389
- [21] **E. K. Irish.** Phys. Rev. Lett., **99** (2007) 173601
- [22] **E. K. Irish.** Phys. Rev. Lett., **99** (2007) 259901
- [23] **I. D. Feranchuk, A. U. Leonau, M. M. Eskandari.** J. Phys. B: At., Mol. Opt. Phys., **50** (2017) 105501
- [24] **M. O. Scully, M. S. Zubairy.** Quantum Optics, Cambridge University Press, Cambridge (1997)
- [25] **I. D. Feranchuk, A. V. Leonov.** Phys. Lett. A, **373** (2009) 4113—4116
- [26] **H. Fröhlich.** Adv. Phys., **3** (1954) 325—361
- [27] **M. D. Crisp.** Phys. Rev. A, **44** (1991) 563—573
- [28] **T. Werlang, A. V. Dodonov, E. I. Duzzioni, C. J. Villas-Boas.** Phys. Rev. A, **78** (2008) 053805